

# Superficies de BSpline

# Funciones

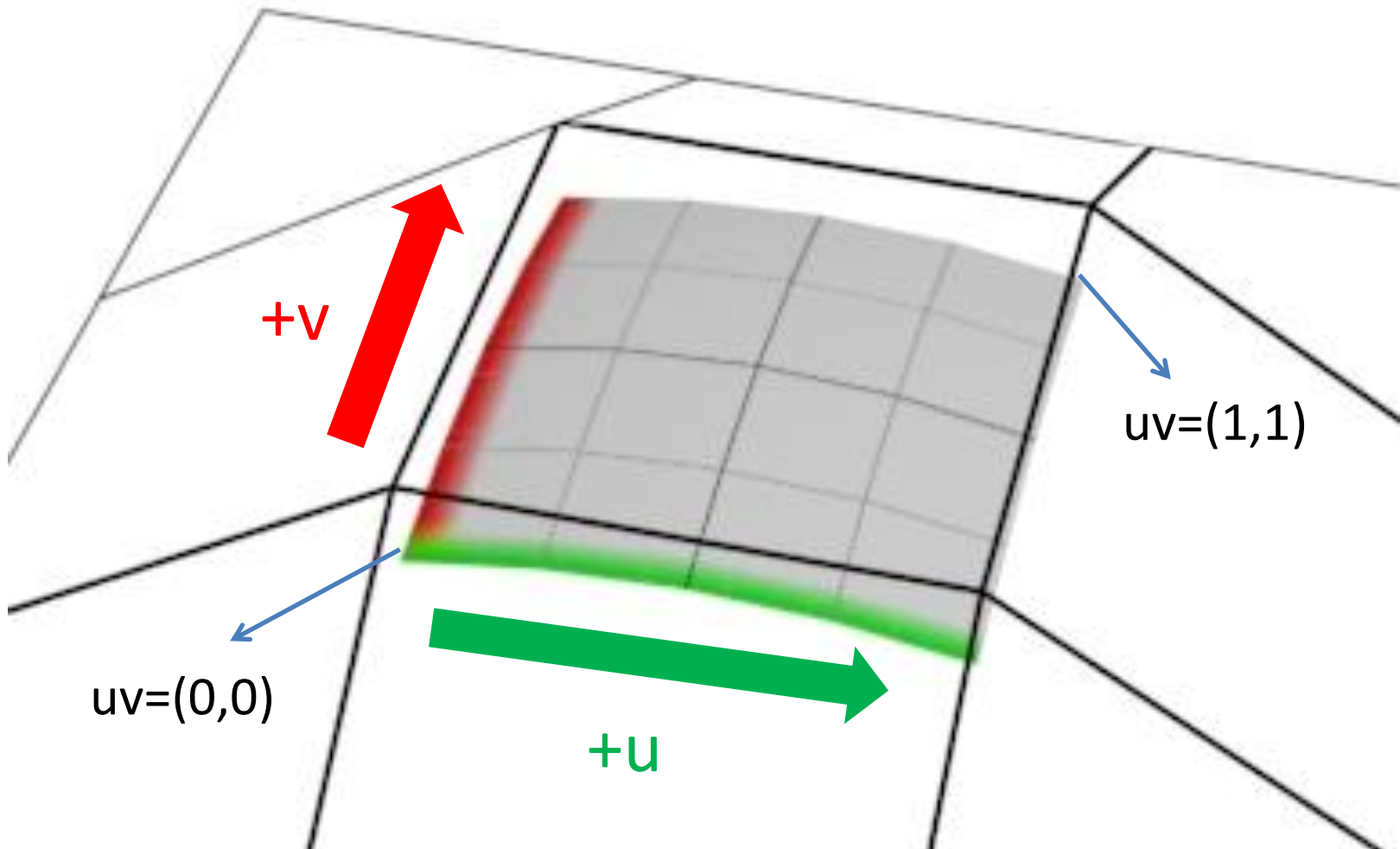
$$S_{k,l}(u,v) = \sum_{i=0}^3 \sum_{j=0}^3 b_j^3(v_k) b_i^3(u_l) P_{k+j,l+i}$$

$u_l, v_k$  Son los parámetros locales del parche

$b_j^3$  Base B-Spline cúbica

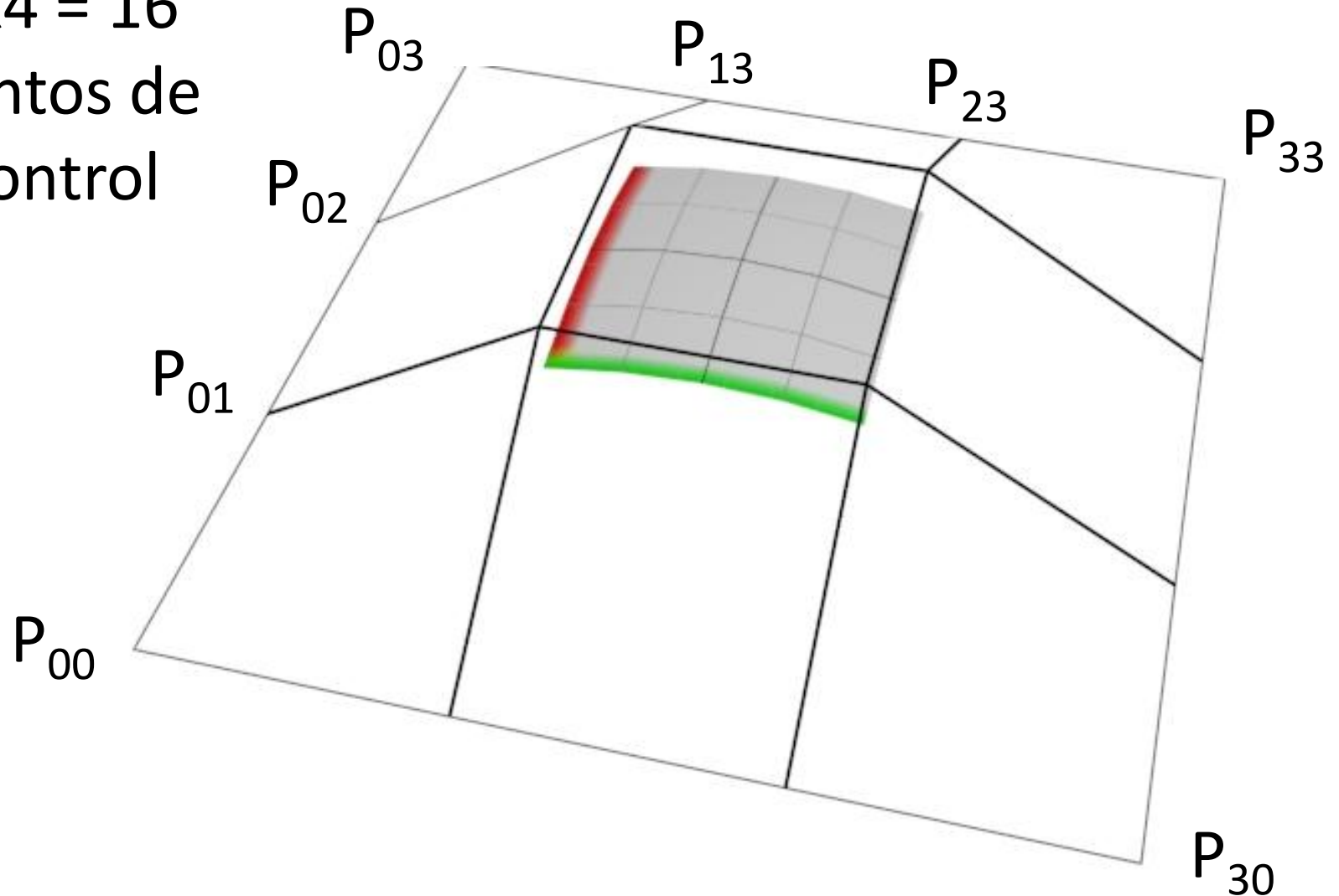
$b_i^3$  Base B-Spline cúbica

# Parche BSpline



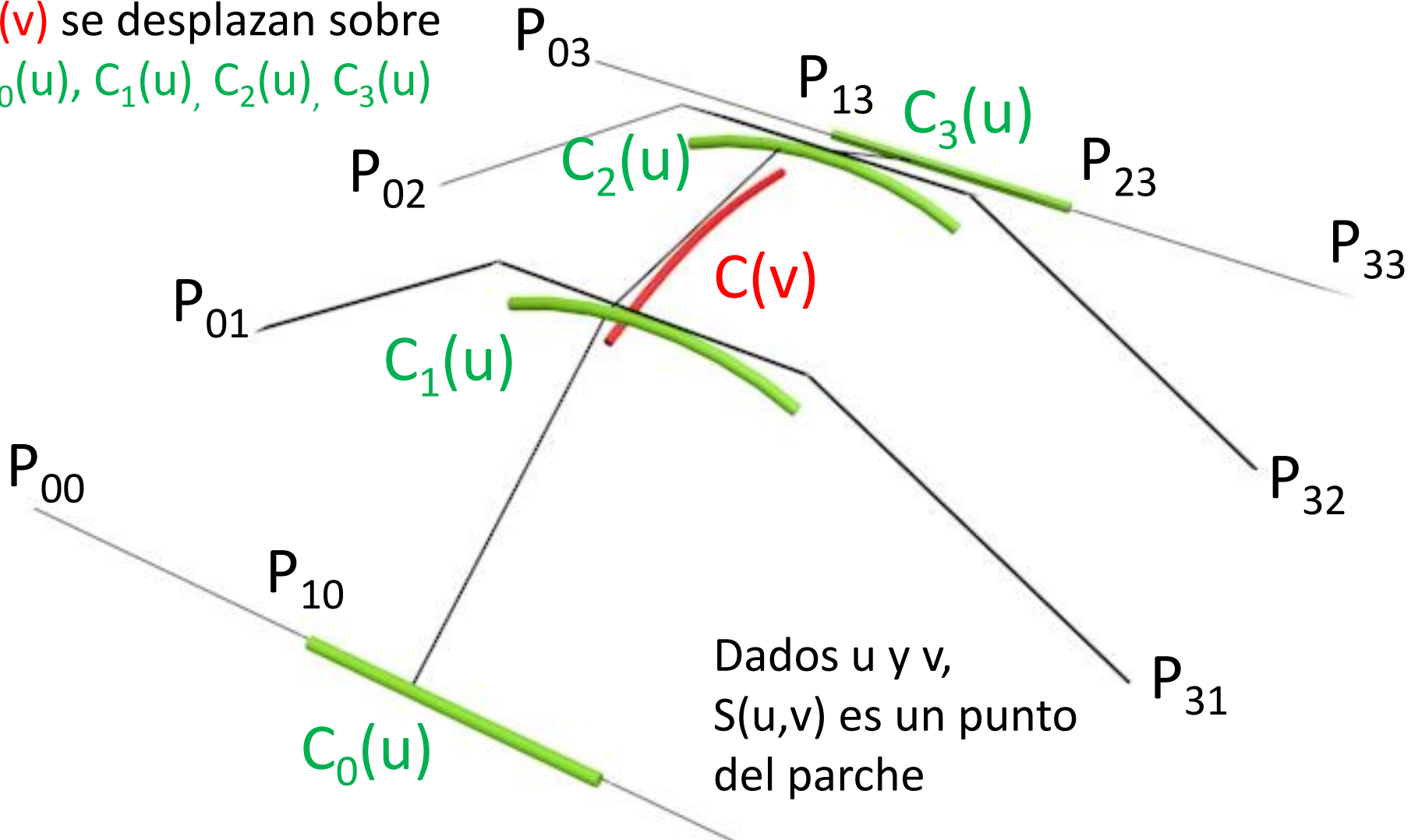
# Parche B-Spline

$4 \times 4 = 16$   
Puntos de  
control

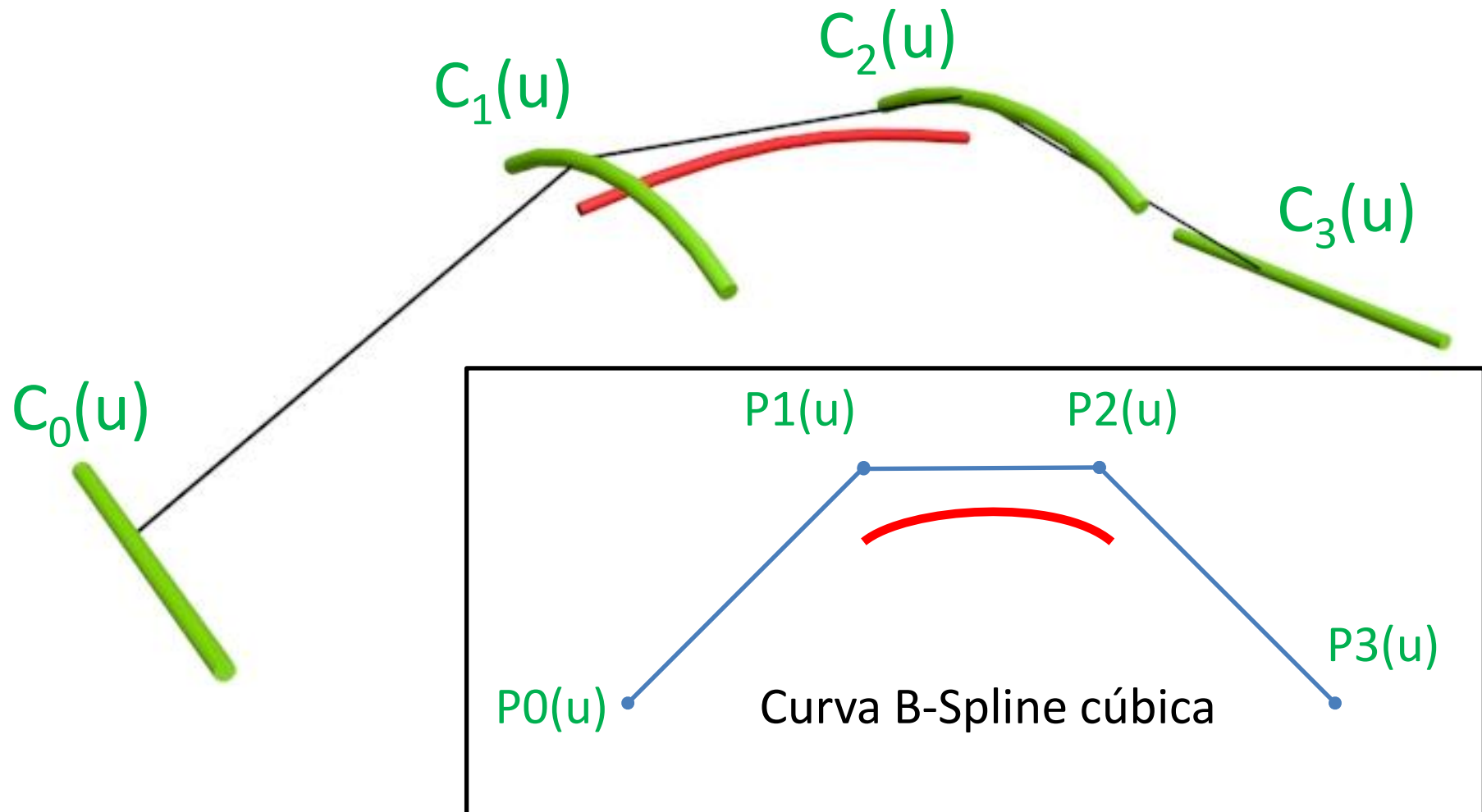


# Construcción del parche B-Spline

Los puntos de control de  $C(v)$  se desplazan sobre  $C_0(u), C_1(u), C_2(u), C_3(u)$



# Contrucción del parche B-Spline



# Expresión matricial

$B_{0(v)}, B_{1(v)}, B_{2(v)}, B_{3(v)}$



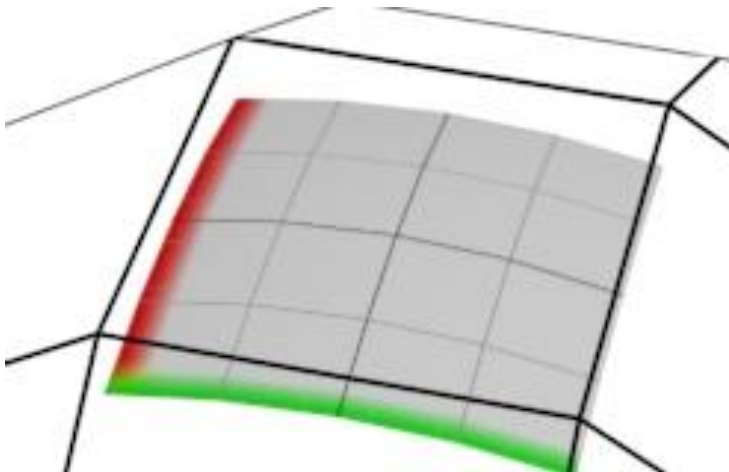
$$S(u,v) = \text{Vector4} \quad \times \quad \text{Vector4} \quad \times \quad \text{Matríz4x4}$$



$B_{0(u)}, B_{1(u)}, B_{2(u)}, B_{3(u)}$



$P_{00}$	$P_{01}$	$P_{02}$	$P_{03}$
$P_{10}$	$P_{11}$	$P_{12}$	$P_{13}$
$P_{20}$	$P_{21}$	$P_{22}$	$P_{23}$
$P_{30}$	$P_{31}$	$P_{32}$	$P_{33}$

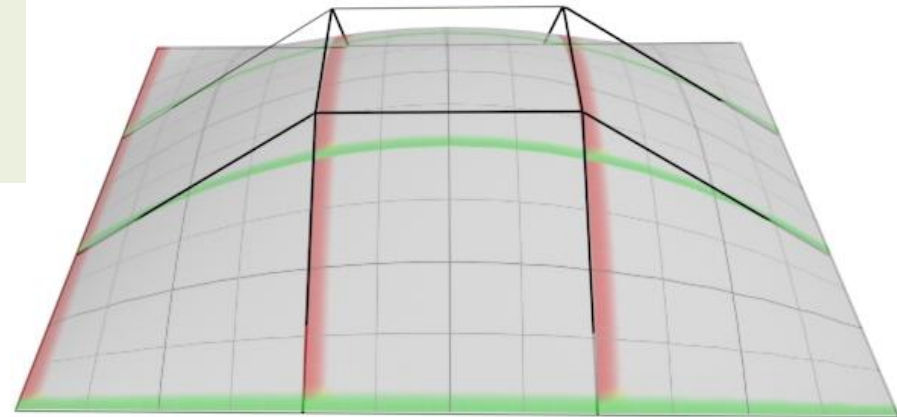


# Superficies de múltiples parches

$P_{00}$	$P_{00}$	$P_{00}$	$P_{01}$	$P_{02}$	$P_{03}$	$P_{03}$	$P_{03}$
$P_{00}$	$P_{00}$	$P_{00}$	$P_{01}$	$P_{02}$	$P_{03}$	$P_{03}$	$P_{03}$
$P_{00}$	$P_{00}$	$P_{00}$	$P_{01}$	$P_{02}$	$P_{03}$	$P_{03}$	$P_{03}$
$P_{10}$	$P_{10}$	$P_{10}$	$P_{11}$	$P_{12}$	$P_{13}$	$P_{13}$	$P_{13}$
$P_{20}$	$P_{20}$	$P_{20}$	$P_{21}$	$P_{22}$	$P_{23}$	$P_{23}$	$P_{23}$
$P_{30}$	$P_{30}$	$P_{30}$	$P_{31}$	$P_{32}$	$P_{33}$	$P_{33}$	$P_{33}$
$P_{30}$	$P_{30}$	$P_{30}$	$P_{31}$	$P_{32}$	$P_{33}$	$P_{33}$	$P_{33}$
$P_{30}$	$P_{30}$	$P_{30}$	$P_{31}$	$P_{32}$	$P_{33}$	$P_{33}$	$P_{33}$

Se repiten puntos de control en los bordes y esquinas de la matriz

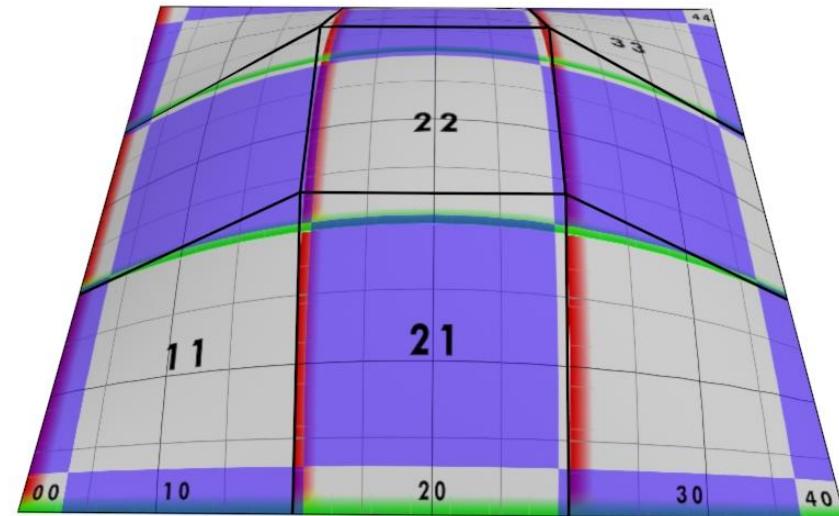
Forman  $5 \times 5 = 25$  parches individuales



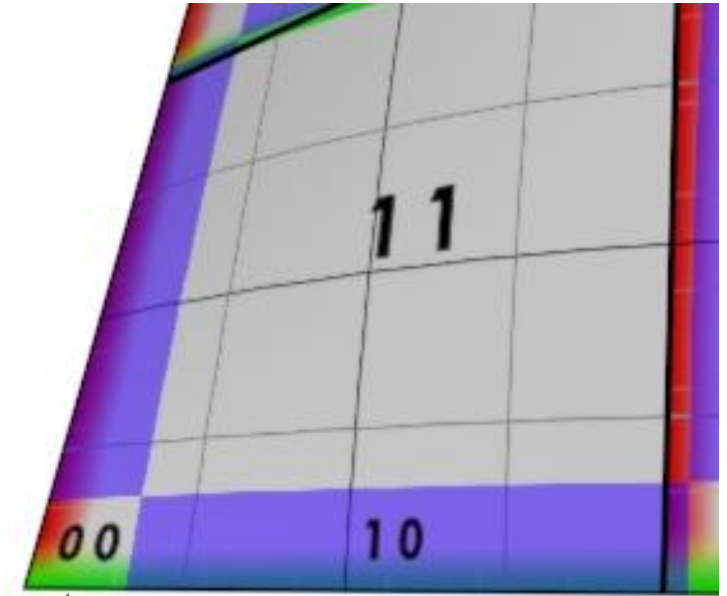
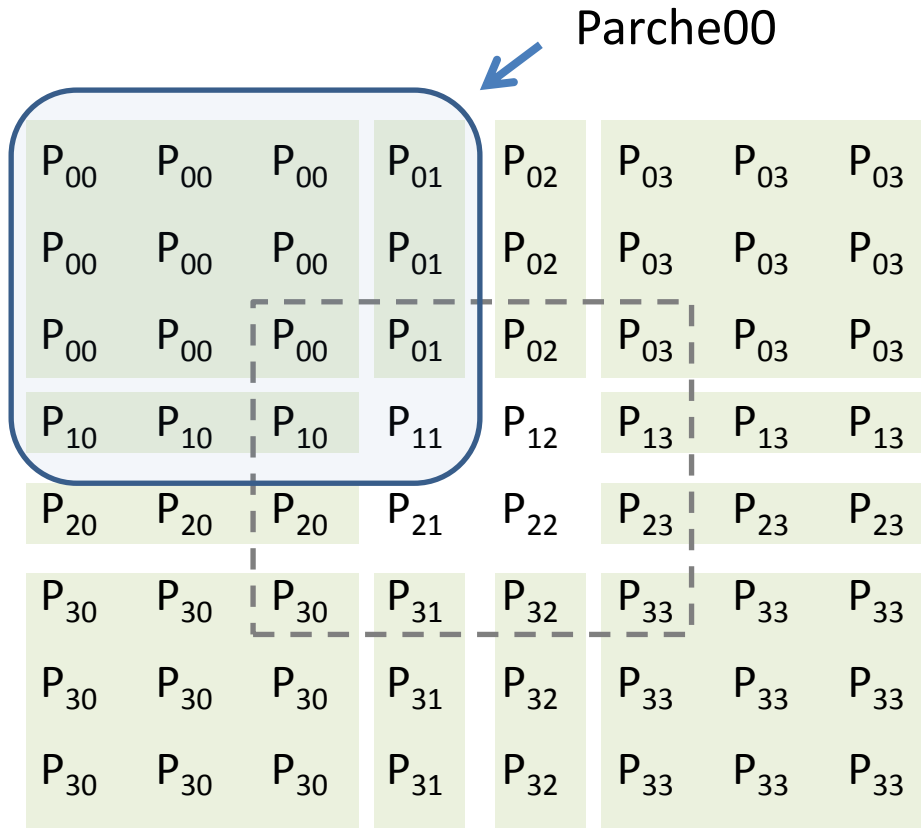


# Superficies de múltiples parches

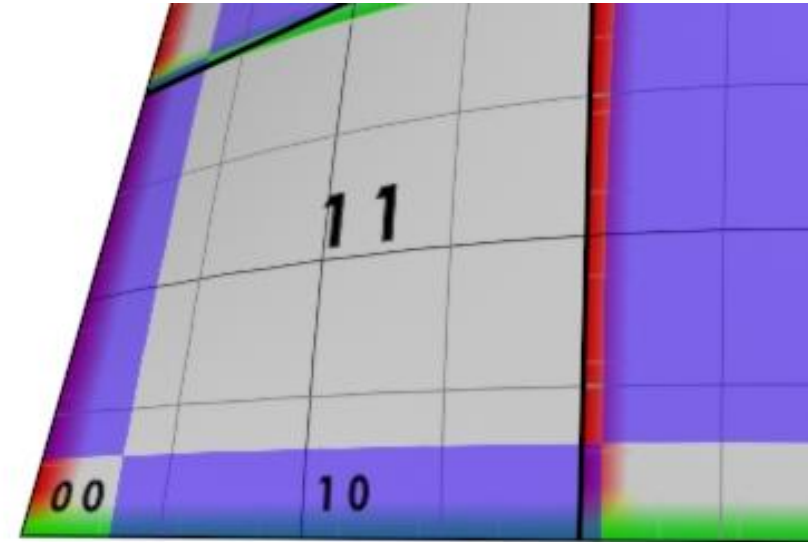
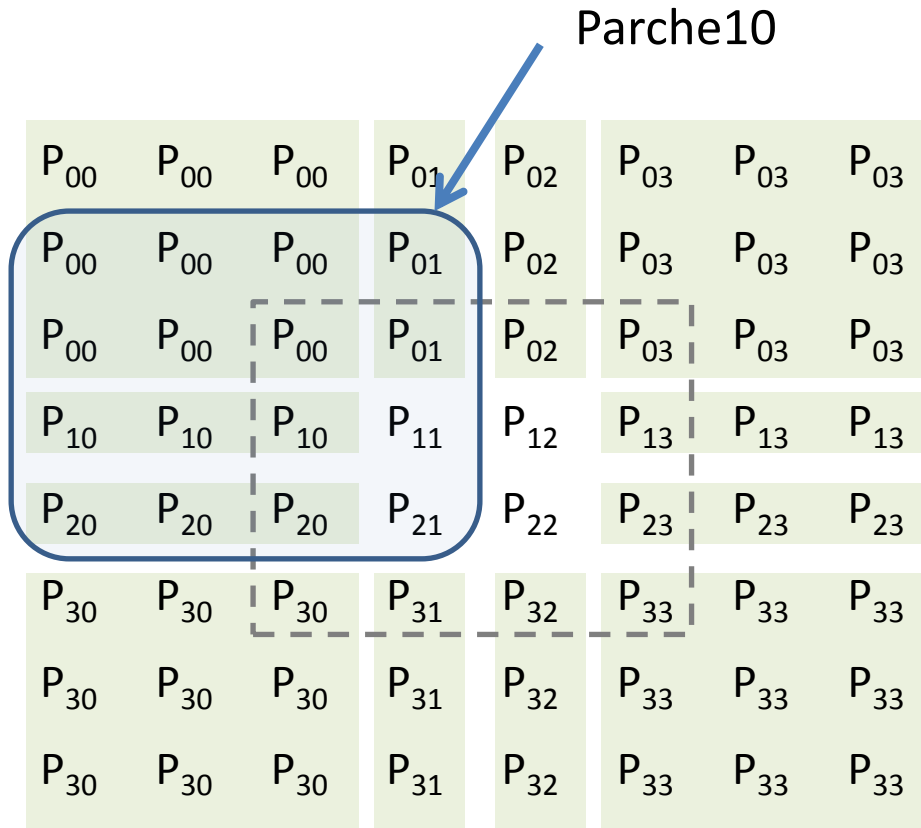
$P_{00}$	$P_{00}$	$P_{00}$	$P_{01}$	$P_{02}$	$P_{03}$	$P_{03}$	$P_{03}$
$P_{00}$	$P_{00}$	$P_{00}$	$P_{01}$	$P_{02}$	$P_{03}$	$P_{03}$	$P_{03}$
$P_{00}$	$P_{00}$	$P_{00}$	$P_{01}$	$P_{02}$	$P_{03}$	$P_{03}$	$P_{03}$
$P_{10}$	$P_{10}$	$P_{10}$	$P_{11}$	$P_{12}$	$P_{13}$	$P_{13}$	$P_{13}$
$P_{20}$	$P_{20}$	$P_{20}$	$P_{21}$	$P_{22}$	$P_{23}$	$P_{23}$	$P_{23}$
$P_{30}$	$P_{30}$	$P_{30}$	$P_{31}$	$P_{32}$	$P_{33}$	$P_{33}$	$P_{33}$
$P_{30}$	$P_{30}$	$P_{30}$	$P_{31}$	$P_{32}$	$P_{33}$	$P_{33}$	$P_{33}$
$P_{30}$	$P_{30}$	$P_{30}$	$P_{31}$	$P_{32}$	$P_{33}$	$P_{33}$	$P_{33}$



# Superficies de múltiples parches



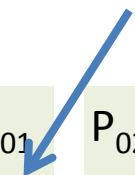
# Superficies de múltiples parches



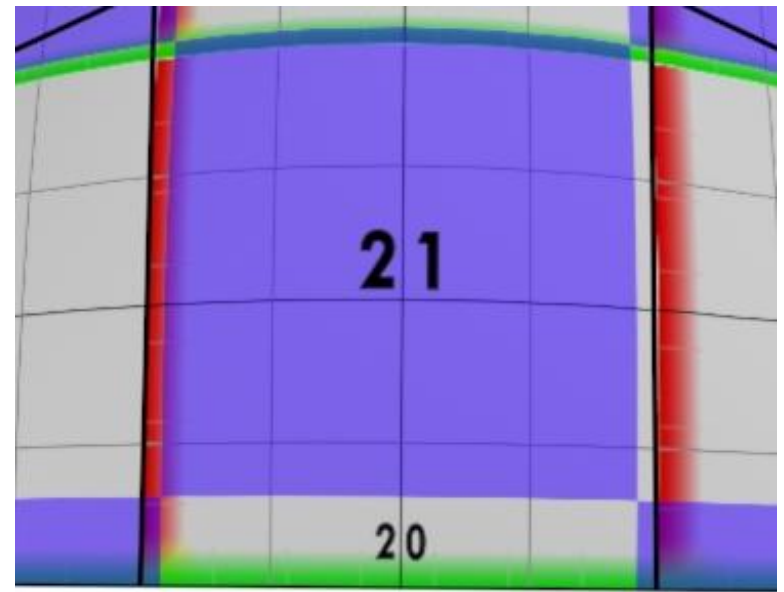
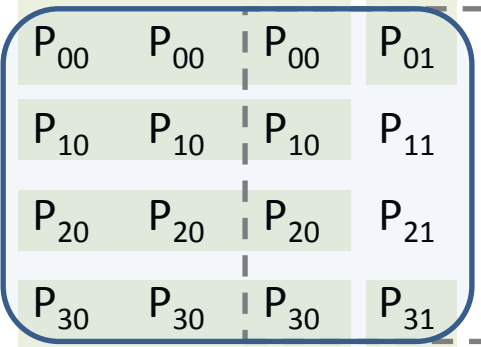
Parche10

# Superficies de múltiples parches

Parche20

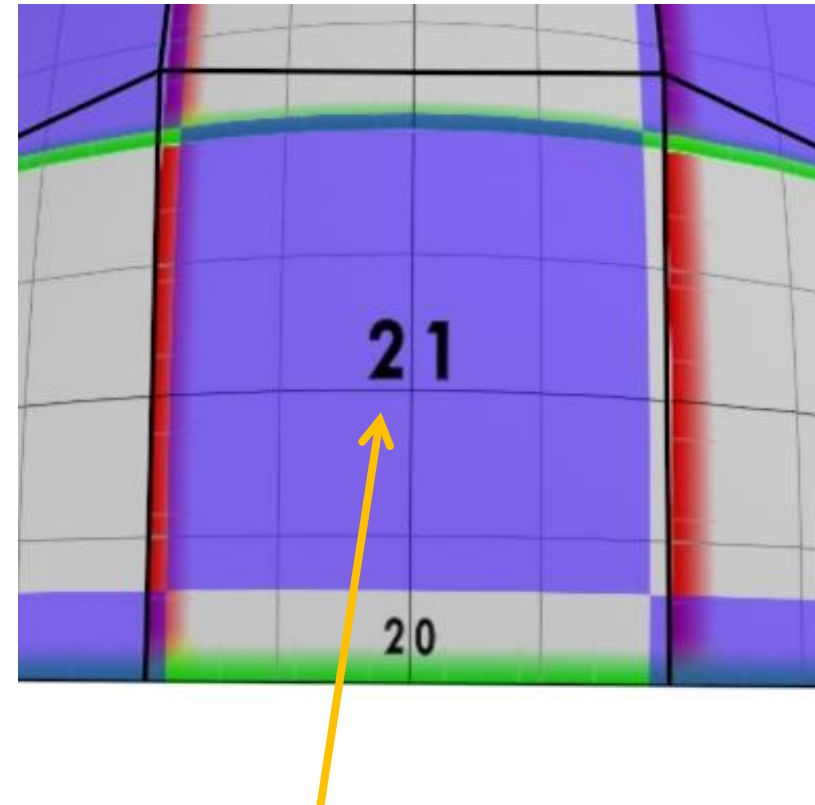
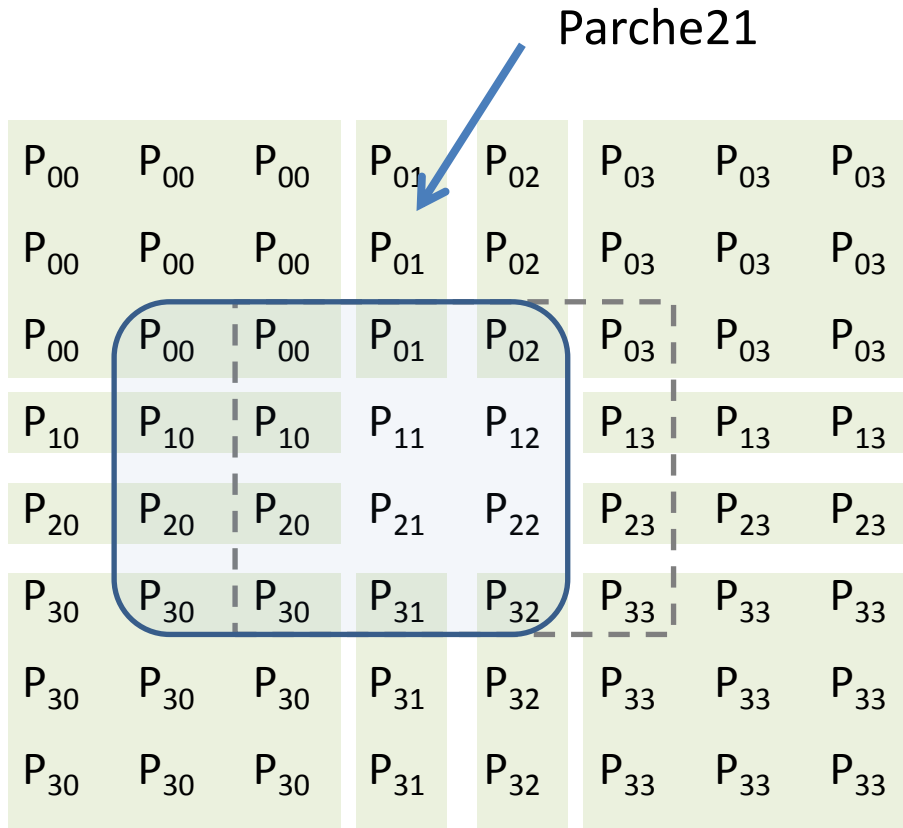


$P_{00}$	$P_{00}$	$P_{00}$	$P_{01}$	$P_{02}$	$P_{03}$	$P_{03}$	$P_{03}$
$P_{00}$	$P_{00}$	$P_{00}$	$P_{01}$	$P_{02}$	$P_{03}$	$P_{03}$	$P_{03}$
$P_{00}$	$P_{00}$	$P_{00}$	$P_{01}$	$P_{02}$	$P_{03}$	$P_{03}$	$P_{03}$
$P_{10}$	$P_{10}$	$P_{10}$	$P_{11}$	$P_{12}$	$P_{13}$	$P_{13}$	$P_{13}$
$P_{20}$	$P_{20}$	$P_{20}$	$P_{21}$	$P_{22}$	$P_{23}$	$P_{23}$	$P_{23}$
$P_{30}$	$P_{30}$	$P_{30}$	$P_{31}$	$P_{32}$	$P_{33}$	$P_{33}$	$P_{33}$
$P_{30}$	$P_{30}$	$P_{30}$	$P_{31}$	$P_{32}$	$P_{33}$	$P_{33}$	$P_{33}$
$P_{30}$	$P_{30}$	$P_{30}$	$P_{31}$	$P_{32}$	$P_{33}$	$P_{33}$	$P_{33}$



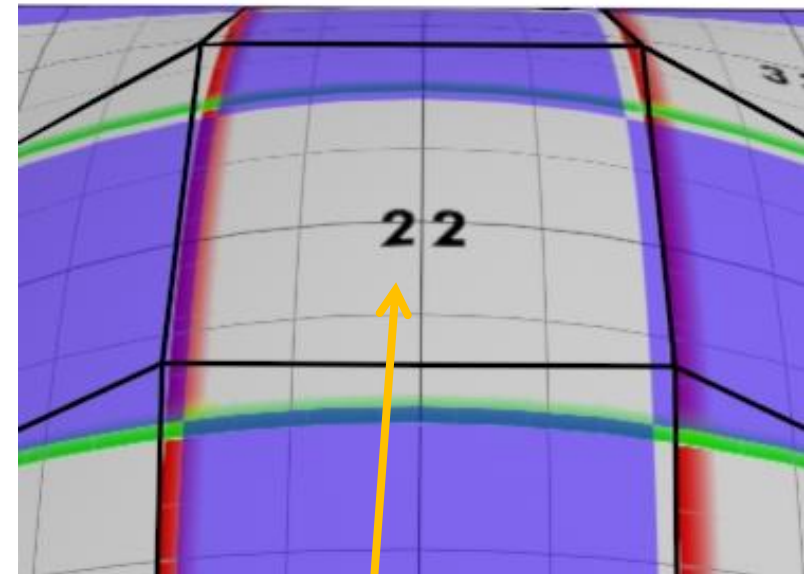
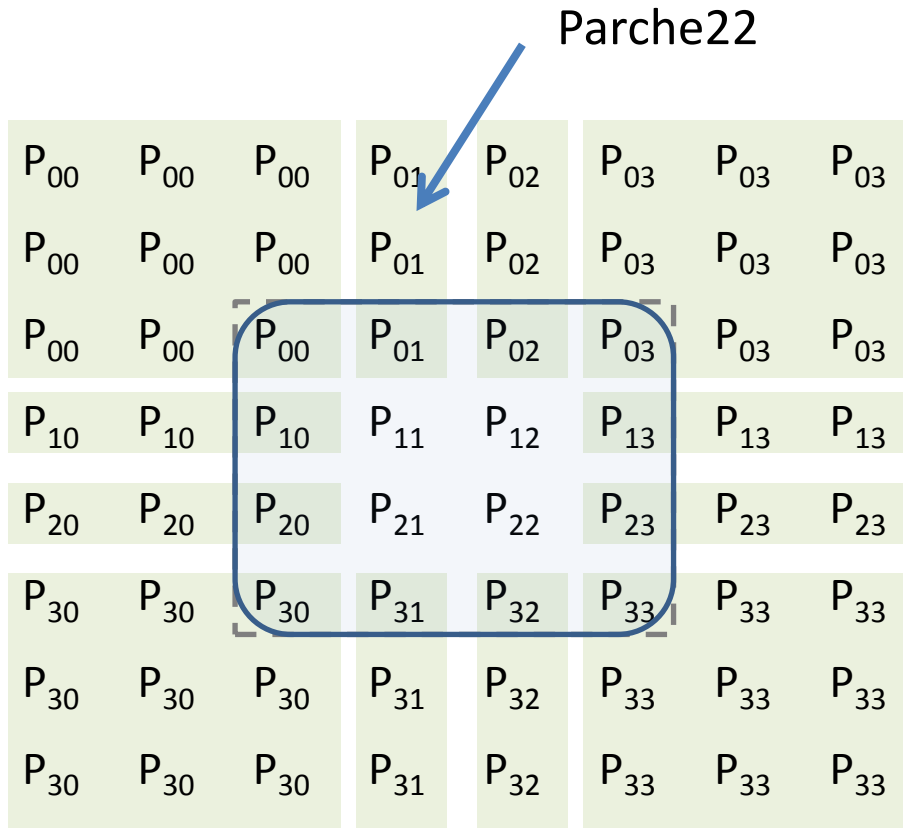
Parche20

# Superficies de múltiples parches



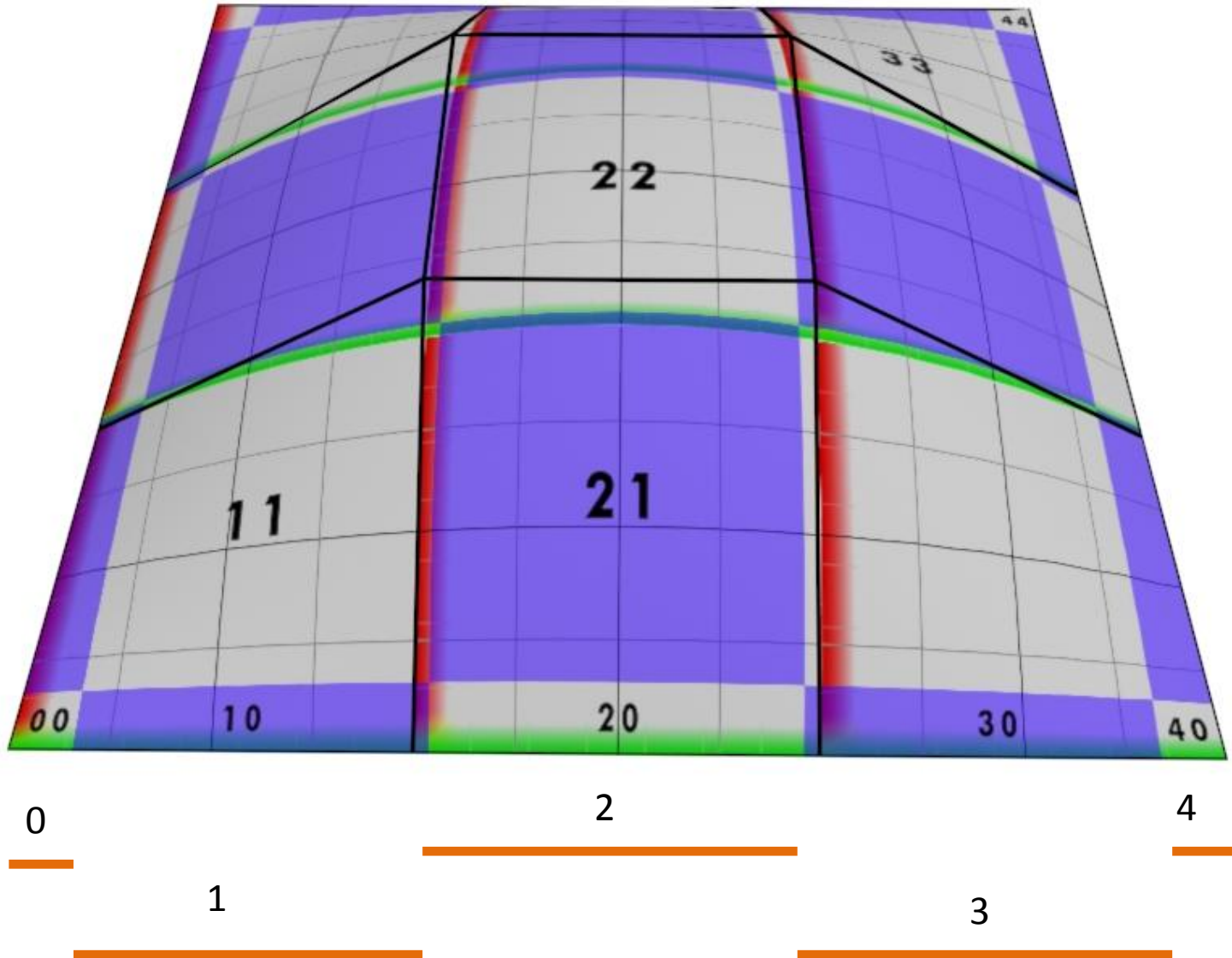
Parche21

# Superficies de múltiples parches

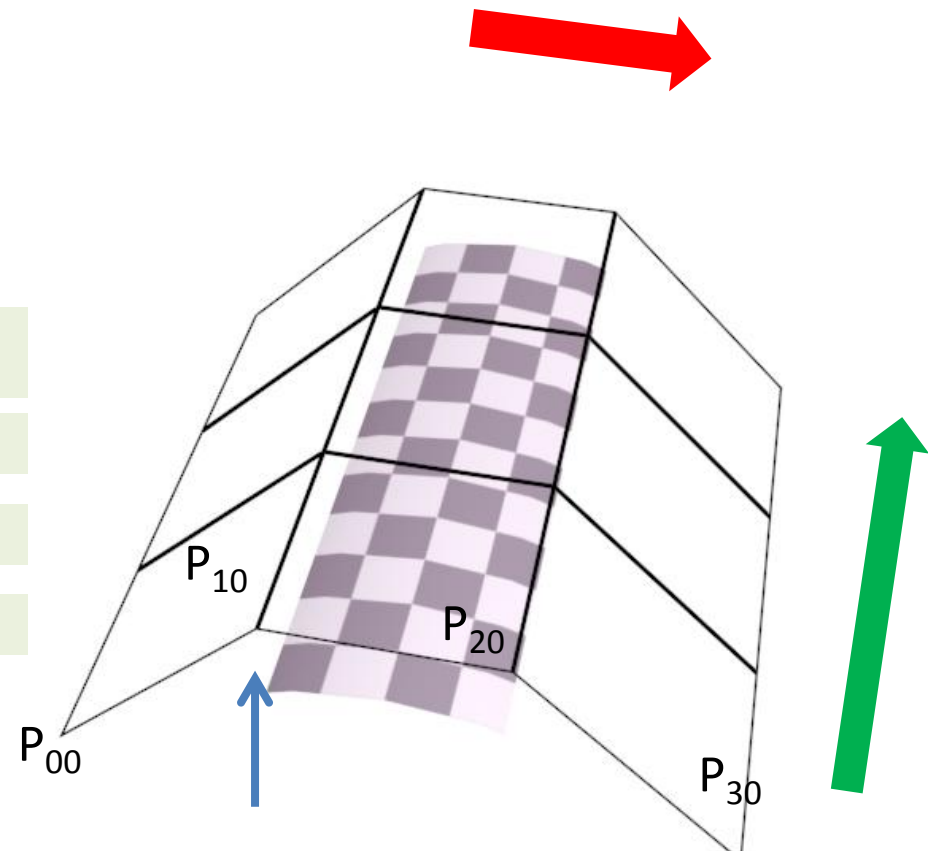
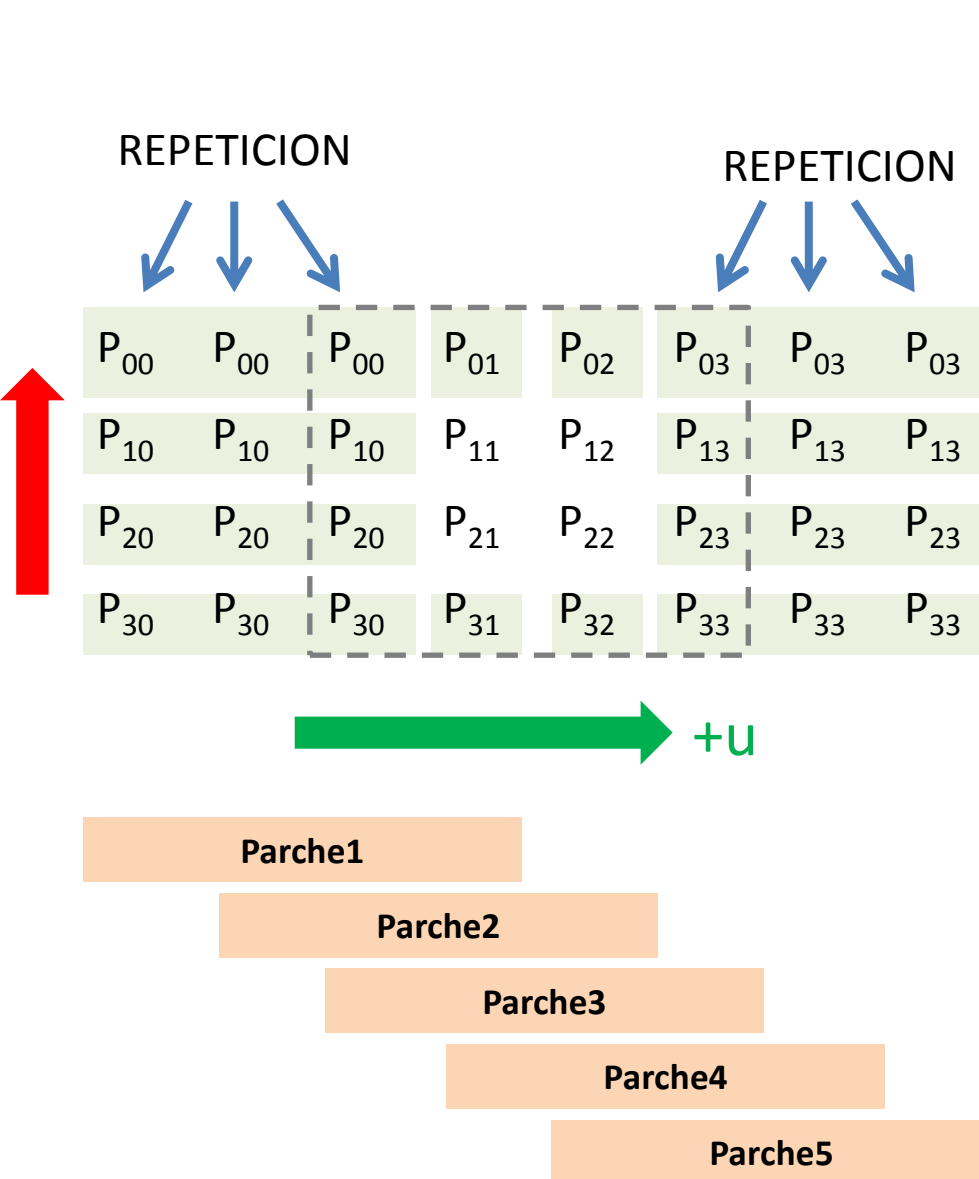


Parche 22

# Superficies de múltiples parches



# Condiciones de borde - 1 dimensión

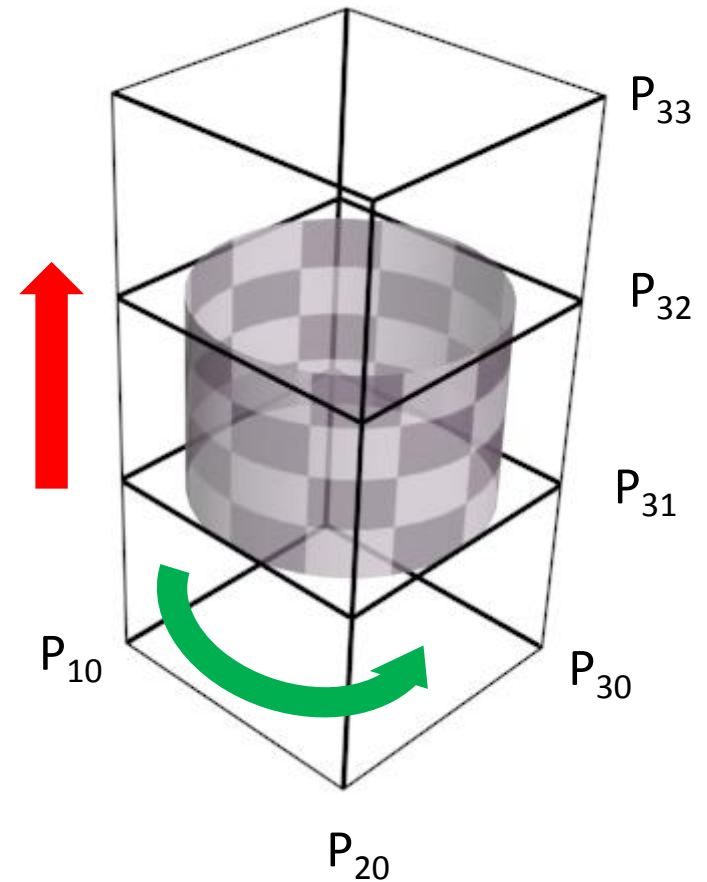
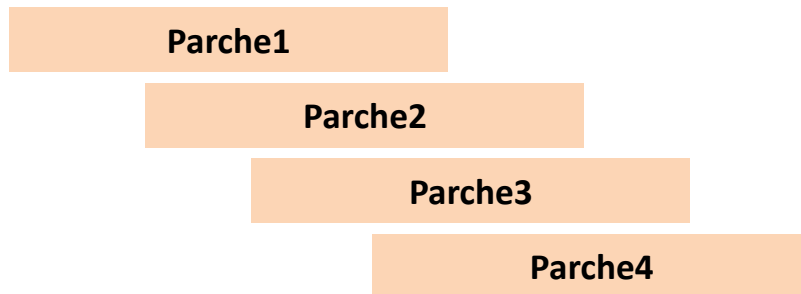
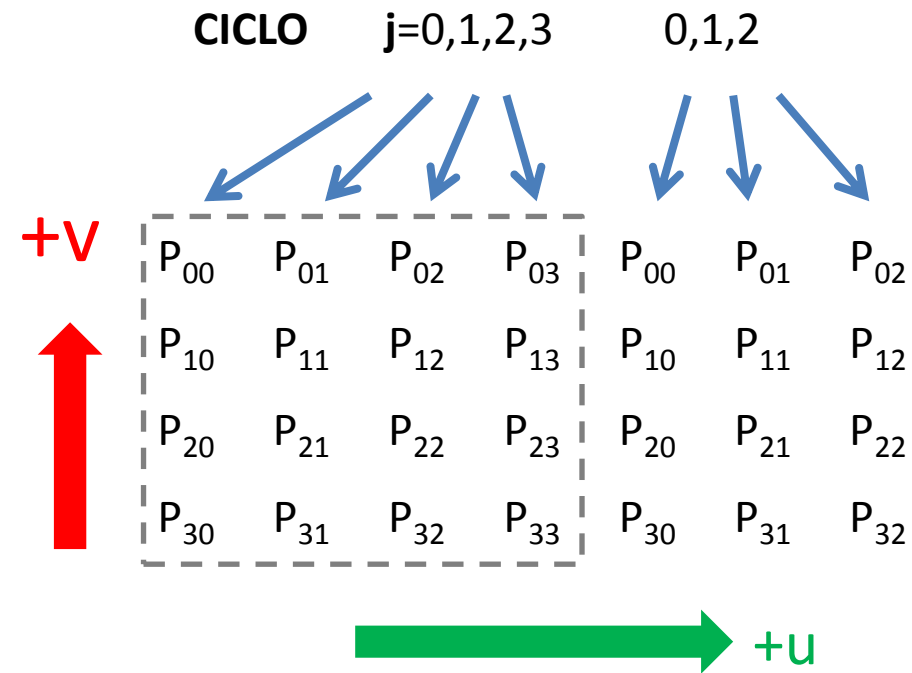


$S(u,v)$  interpola la curva formada por  $P_{00}$ ,  $P_{10}$ ,  $P_{20}$  y  $P_{30}$

16 Puntos de Control únicos



# Condiciones de borde - 1 dimensión



$S(u,v)$  es cerrada en el sentido de  $u$ .  
Esta compuesta por 4 parches que cubre  $90^\circ$  del cilindro  $c/u$

16 Puntos de control únicos

# Condiciones de borde - 2 dimensiones

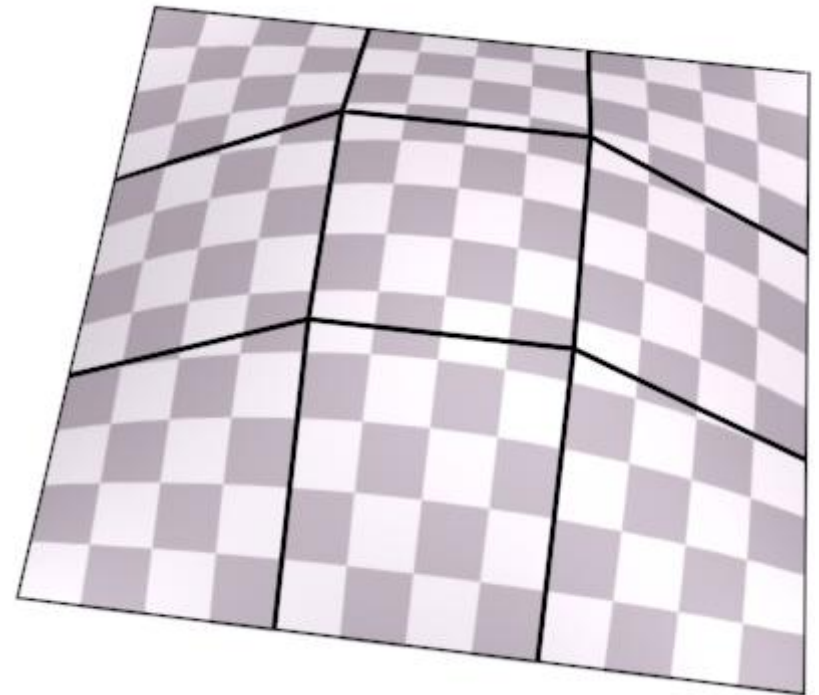
Hay **REPETICION** de los bordes en sentido de u y de v

$P_{00}$	$P_{00}$	$P_{00}$	$P_{01}$	$P_{02}$	$P_{03}$	$P_{03}$	$P_{03}$
$P_{00}$	$P_{00}$	$P_{00}$	$P_{01}$	$P_{02}$	$P_{03}$	$P_{03}$	$P_{03}$
$P_{00}$	$P_{00}$	$P_{00}$	$P_{01}$	$P_{02}$	$P_{03}$	$P_{03}$	$P_{03}$
$P_{10}$	$P_{10}$	$P_{10}$	$P_{11}$	$P_{12}$	$P_{13}$	$P_{13}$	$P_{13}$
$P_{20}$	$P_{20}$	$P_{20}$	$P_{21}$	$P_{22}$	$P_{23}$	$P_{23}$	$P_{23}$
$P_{30}$	$P_{30}$	$P_{30}$	$P_{31}$	$P_{32}$	$P_{33}$	$P_{33}$	$P_{33}$
$P_{30}$	$P_{30}$	$P_{30}$	$P_{31}$	$P_{32}$	$P_{33}$	$P_{33}$	$P_{33}$
$P_{30}$	$P_{30}$	$P_{30}$	$P_{31}$	$P_{32}$	$P_{33}$	$P_{33}$	$P_{33}$

+v



+u



$S(u,v)$  interpola las curvas de formadas por los puntos de control de los bordes

# Condiciones de borde - 2 dimensiones

REPETICION de bordes en sentido de v

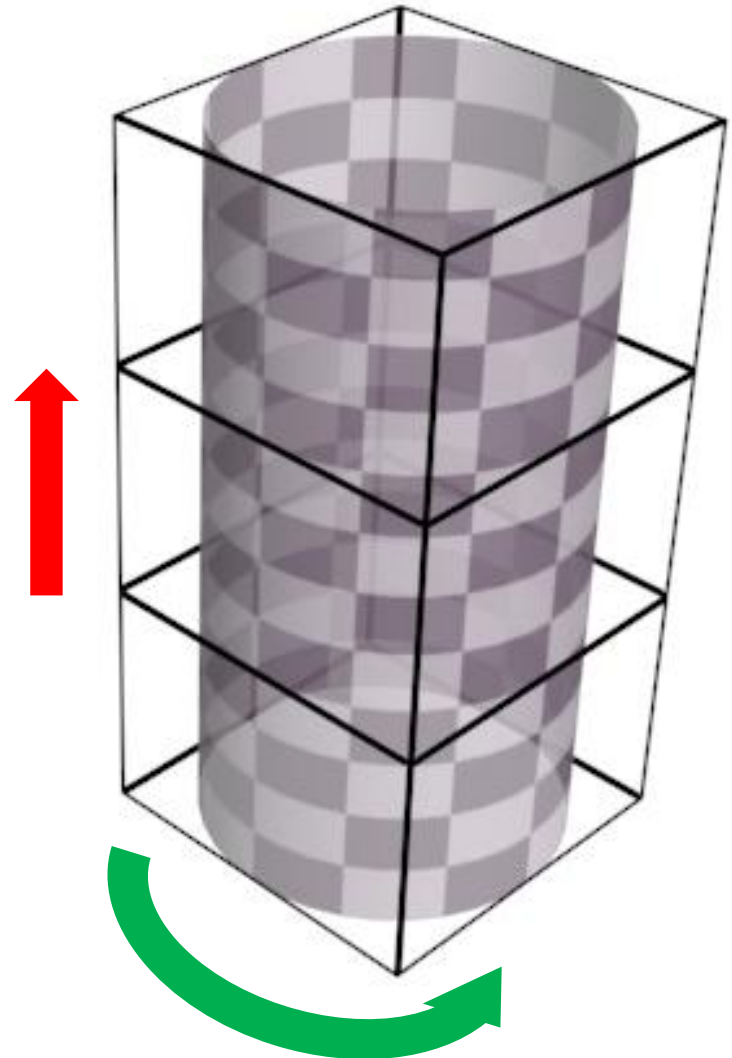
CICLO en el sentido u

$P_{00}$	$P_{01}$	$P_{02}$	$P_{03}$	$P_{00}$	$P_{01}$	$P_{02}$
$P_{00}$	$P_{01}$	$P_{02}$	$P_{03}$	$P_{00}$	$P_{01}$	$P_{02}$
$P_{00}$	$P_{01}$	$P_{02}$	$P_{03}$	$P_{00}$	$P_{01}$	$P_{02}$
$P_{10}$	$P_{11}$	$P_{12}$	$P_{13}$	$P_{10}$	$P_{11}$	$P_{12}$
$P_{20}$	$P_{21}$	$P_{22}$	$P_{23}$	$P_{20}$	$P_{21}$	$P_{22}$
$P_{30}$	$P_{31}$	$P_{32}$	$P_{33}$	$P_{30}$	$P_{31}$	$P_{32}$
$P_{30}$	$P_{31}$	$P_{32}$	$P_{33}$	$P_{30}$	$P_{31}$	$P_{32}$
$P_{30}$	$P_{31}$	$P_{32}$	$P_{33}$	$P_{30}$	$P_{31}$	$P_{32}$

+v



+u



# Ejemplos

CICLO en sentido de  $v$

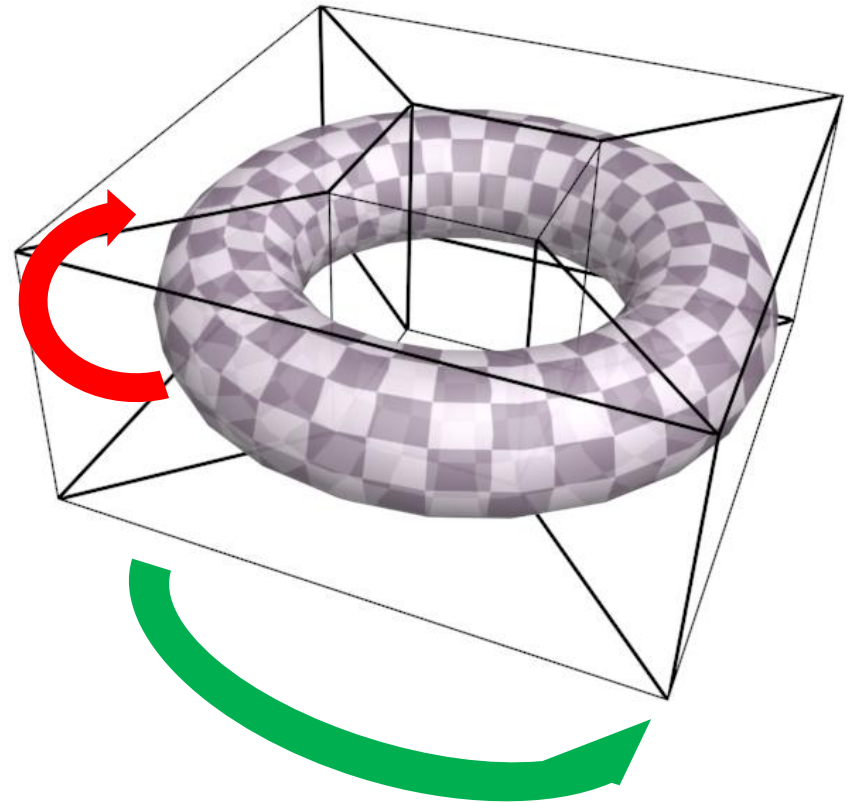
CICLO en el sentido  $u$

$+v$

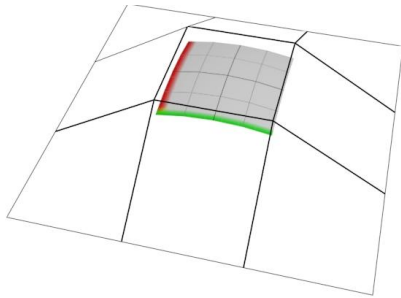


$P_{00}$	$P_{01}$	$P_{02}$	$P_{03}$	$P_{00}$	$P_{01}$
$P_{10}$	$P_{11}$	$P_{12}$	$P_{13}$	$P_{10}$	$P_{11}$
$P_{20}$	$P_{21}$	$P_{22}$	$P_{23}$	$P_{20}$	$P_{21}$
$P_{30}$	$P_{31}$	$P_{32}$	$P_{33}$	$P_{30}$	$P_{31}$
$P_{00}$	$P_{01}$	$P_{02}$	$P_{03}$	$P_{00}$	$P_{01}$
$P_{10}$	$P_{11}$	$P_{12}$	$P_{13}$	$P_{10}$	$P_{11}$
$P_{20}$	$P_{21}$	$P_{22}$	$P_{23}$	$P_{20}$	$P_{21}$

$+u$

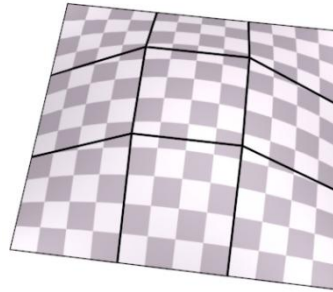


# Condiciones de borde - Resumen



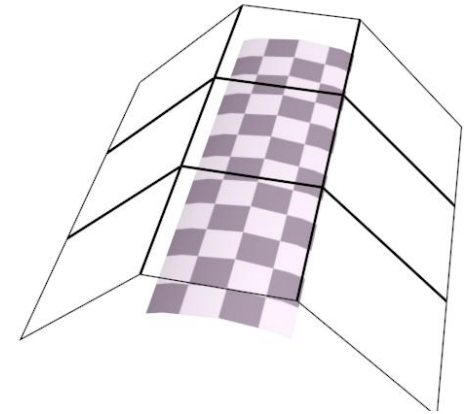
1 vez

1 vez



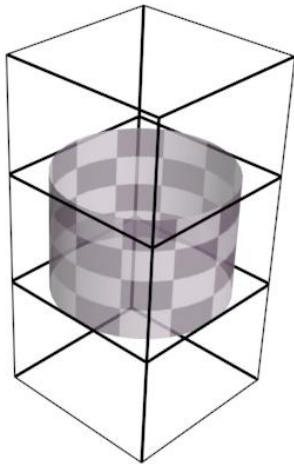
REPETICION

REPETICION



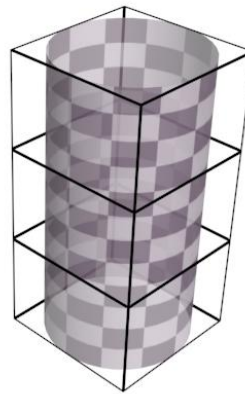
REPETICION

1 vez



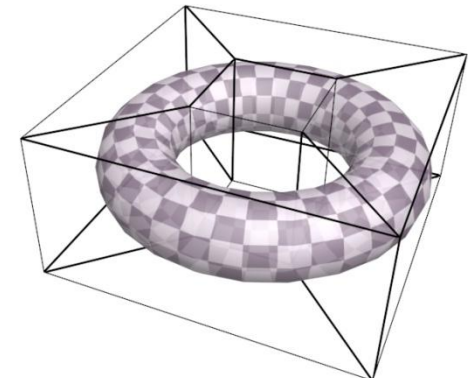
1 vez

CICLO



REPETICION

CICLO



CICLO

CICLO